



БИООРГАНИЧЕСКАЯ ХИМИЯ

том 14 * № 8 * 1988

УДК 577.366+547.953'67/68.057+547.295'67/68.057

МЕМБРАННЫЕ ФЛУОРЕСЦЕНТНЫЕ ЗОНДЫ

II.* АЛКИЛИРОВАНИЕ ПОЛИЦИКЛИЧЕСКИХ АРОМАТИЧЕСКИХ УГЛЕВОДОРОДОВ ПО ФРИДЕЛЮ — КРАФТСУ — УДОБНЫЙ МЕТОД ВВЕДЕНИЯ ФЛУОРЕСЦЕНТНОЙ МЕТКИ В ГИДРОФОБНУЮ ОБЛАСТЬ ПРИРОДНЫХ ЛИПИДОВ

*Богомолов О. В., Якунина Н. Б., Каплун А. Н.,
Швец В. И.*

*Московский институт тонкой химической технологии
им. М. В. Ломоносова*

Алкилирование пирена олеиновой или 10-ундеценовой кислотами в условиях реакции Фриделю — Крафтса получены соответственно 9(10)-(4-пиренил)стеариновая и 10(11)-(4-пиренил)ундекановая кислоты. Аналогично взаимодействием антрацена и пирена с яичными фосфатидилхолином и фосфатидилэтаноламином, фосфатидилинозитом из пекарских дрожжей или дифосфатидилглицерином из сердечной мышцы крупного рогатого скота синтезированы флуоресцентные аналоги природных фосфолипидов. Методами химического и ферментативного расщепления установлено, что метка локализуется преимущественно в ацильных остатках во втором положении глицеринового скелета молекулы фосфолипида.

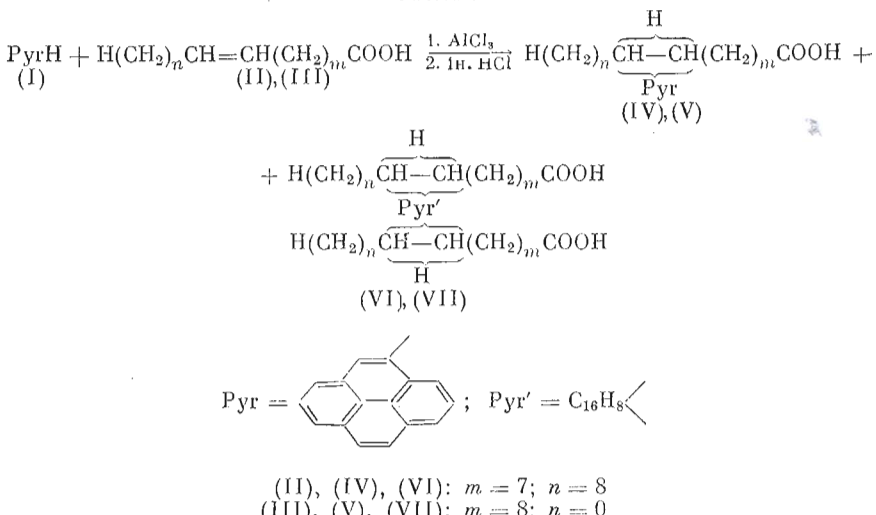
В арсенале современных методов исследования модельных и биологических мембран прочное место занял метод флуоресцентных зондов [2]. Удобными мембранными зондами зарекомендовали себя флуоресцентные аналоги природных фосфолипидов, естественных компонентов биологических мембран [3]. Разнообразие решаемых с их помощью задач требует применения зондов, различающихся как по спектральным параметрам флуорофора, так и по типу фосфолипида и по месту локализации метки в его молекуле. Ранее мы сообщали об одностадийном методе получения антрылсодержащих аналогов стеариновой кислоты и яичных фосфолипидов — фосфатидилхолина и фосфатидилэтаноламина и меткой в гидрофобной области молекулы, алкилированием антрацена по Фриделю — Крафтсу олеиновой кислотой [4] или соответствующими природными фосфолипидами [1, 5]; в настоящей работе мы описываем приложение этого метода к более сложным анионным фосфолипидам: фосфатидилинозиту из пекарских дрожжей и дифосфатидилглицерину из сердечной мышцы крупного рогатого скота.

Метод алкилирования ароматических углеводородов олефинами по Фриделю — Крафтсу в принципе может быть использован для введения в гидрофобную область липидов и других ароматических флуорофоров, например пиренильного остатка. Выбор этой метки обусловлен способностью как самого пирена, так и его производных образовывать эксимеры, легко регистрируемые в условиях эксперимента — это открывает дополнительные методические возможности использования пиренилсодержащих зондов [6]. Данная работа посвящена исследованию взаимодействия пирена с олеиновой и 10-ундеценовой кислотами, а также с фосфолипидами: яичными фосфатидилхолином и фосфатидилэтаноламином, фосфатидилинозитом из пекарских дрожжей и дифосфатидилглицерином из сердечной мышцы крупного рогатого скота.

Алкилирование пирена (I) олеиновой (II) и 10-ундеценовой (III) кислотами осуществляли в условиях, аналогичных алкилированию антрацена олеиновой кислотой [4]: при комнатной температуре в среде дихлорэтана с использованием 1,5-кратного избытка пирена и 2-кратного из-

* Сообщение I см. [1].

Схема 1



бытка безводного хлористого алюминия (схема 1). Выход соответствующей пиренилкарбоновой кислоты (IV), (V) достигал 30–37%, при этом образовывалось также до 5% диалкилпиренов (VI), (VII). Методом масс-спектрометрии было установлено, что при алкилировании пирена олеиновой кислотой, так же как в случае алкилирования антрацена, получалась смесь 9- и 10-пиренилстеариновых кислот (IV): в спектре пиренилстеариновой кислоты кроме сигнала молекулярного иона (m/z 484) наиболее интенсивными наблюдались сигналы фрагментов $[\text{CH}_3(\text{CH}_2)_n\text{CHPyr}]^+$ и $[\text{CH}(\text{Pyr})(\text{CH}_2)_m\text{COOH}]^+$ ($m, n = 7, 8$). Место присоединения пиренильного остатка к полиметиленовой цепи кислоты (V) устанавливали с помощью спектроскопии ПМР. По соотношению интенсивностей сигналов протонов С-концевой метильной группы и метиленовой группы в α -положении к карбоксили (0,80 и 2,35 м.д. соответственно) вычислено, что в пиренилундекановой кислоте (V) 88% пиренильных остатков присоединяется к концевому C11-, а 12% — к C10-атому молекулы. В случае этилового эфира антрилундекановой кислоты, полученного по методике, описанной для этилового эфира антрилстеариновой кислоты [4], содержание антрильного остатка при C11 и C10 составляло соответственно 64 и 36% — такая разница может объясняться тем, что более объемистая пиренильная группа, по-видимому, испытывает большие, чем антрильная, стерические затруднения при присоединении к C10-атому углеводородной цепи кислоты.

Ранее методом спектроскопии ПМР было установлено, что при алкилировании антрацена олеиновой кислотой или ее этиловым эфиром происходит замещение в антрацене по 1, 2 и 9-му положениям в соотношениях 58, 22 и 20% соответственно [4]. С помощью препаративной ВЭЖХ на обращенной фазе в системе метанол — ацетонитрил (9 : 1) для полученного ранее этилового эфира 9(10)-антрилстеариновой кислоты [4] осуществлено разделение изомеров по месту замещения в антраценовом ядре. Этил-9(10)-(9-антрил)стеарат имеет время удерживания 1,21 ч, -(1-антрил)стеарат — 1,38 ч и -(2-антрил)стеарат — 1,50 ч. Спектры ПМР выделенных изомеров в области сигналов ароматических протонов, а также УФ-спектры идентичны спектрам соответствующих алкилантраценов, синтезированных ранее [4]. Соотношение изомеров оказалось близким к рассчитанному на основании анализа спектров ПМР: 1-антрил — 2-антрил — 9-антрил = 51 : 23 : 26.

Характер замещения в пирене для кислот (IV), (V) определяли с помощью спектроскопии ^{13}C -ЯМР. Сопоставление спектров метиловых эфиров пиренилстеариновой и пиренилундекановой кислот со спектром образца метил-4-(1-пиренил)бутират показало, что пирен в них замещен

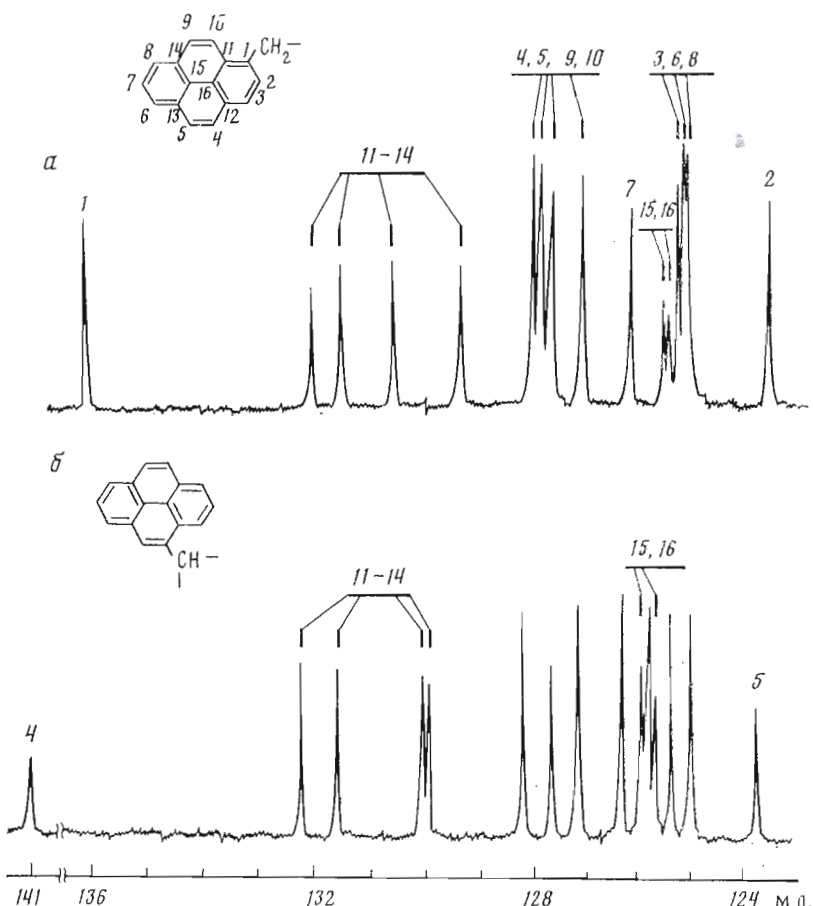
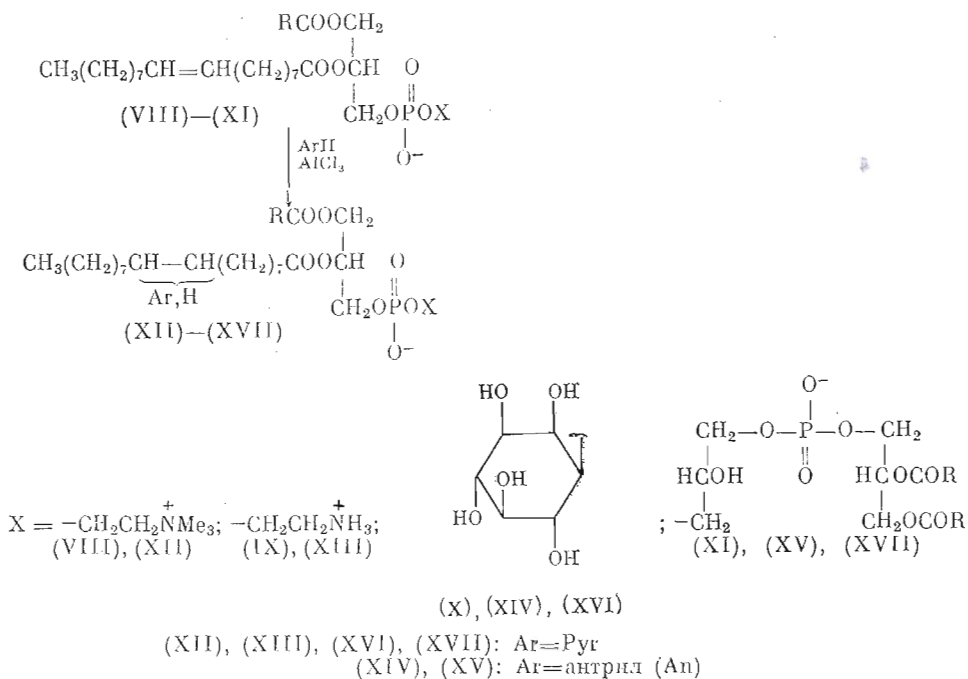


Рис. 1. Спектры ^{13}C -ЯМР (62,9 МГц, область сигналов ароматических С-атомов) метил-4-(1-пиренил)бутират (а) и метилового эфира 9(10)-(4-пиренил)стеариновой кислоты (V) (б)

по-разному. Спектры эфиров кислот (IV), (V) содержали по 15 сигналов ароматических атомов углерода, что свидетельствовало об изомерной чистоте по месту замещения в пириеновом ядре (рис. 1). Сигналов четвертичных атомов углерода, идентифицированных с помощью методики «спиновое эхо», оказалось 7, как и в случае метил-4-(1-пиренил)бутират. Следовательно, пириенилкарбоновые кислоты (IV), (V) не являются 2-алкилпириенами, так как в противном случае в их спектрах наблюдалось бы не более 5 сигналов четвертичных атомов углерода. На основании полученных данных был сделан вывод, что кислоты (IV), (V) имеют в основном структуру соответственно 9(10)-(4-пиренил)стеариновой и 10(11)-(4-пиренил)ундекановой кислот.

Закономерности, установленные при исследовании взаимодействия антрацена с фосфатидилхолином (VIII) и фосфатидилэтаноламином (IX) [1], оказались верными и в случае алкилирования антрацена фосфатидилинозитом (X) и дифосфатидилглицерином (XI), а также пириена — фосфолипидами (VIII)–(XI) (схема 2). Меченные фосфолипиды выделяли колоночной хроматографией на силикагеле. По хроматографической подвижности полученные вещества (XII)–(XVII) не отличались от природных фосфолипидов, а УФ-спектры и спектры флуоресценции антрил-(XIV), (XV) и пириенилмеченых фосфолипидов (XII), (XIII), (XVI), (XVII) подобны спектрам соответственно антрил- и пириенилстеариновой кислоты. Сопоставление УФ-спектров синтезированных нами ранее 1-ацил-2-[9(10)-антрилстеароил]- и 1-ацил-2-[9(10)-(4-пиренил)стеароил]-*s-n*-глицеро-3-фосфохолина [1, 7] со спектрами фосфолипидов (XII)–(XVII).

Cxema 2

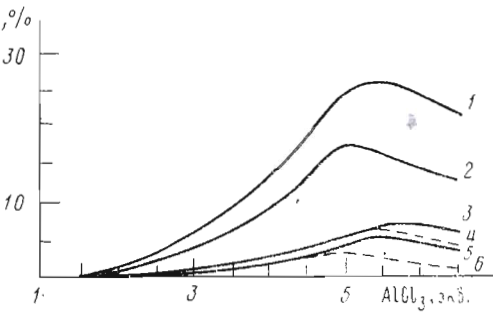


показало, что последние представляют собой смеси меченых и исходных веществ, и позволило определить их соотношения.

Проведенные исследования подтвердили, что на степень модификации фосфатидов (VIII)–(XI) (отношение количества молей модифицированного фосфолипида, рассчитанного по известному содержанию метки в выделенном флуоресцентно меченому фосфатиде, к количеству молей исходного вещества, взятого в реакцию) сильное влияние оказывает соотношение фосфолипид — хлористый алюминий [1]: при 5 экв. катализатора флуоресцентную метку содержали 65% выделенного фосфатидилхолина (XII), 64% фосфатидилэтаноламина (XIII), 15–18% фосфатидилинозита (XIV), (XVI) и 9–10% дифосфатидилглицерина (XV), (XVII). Тот факт, что фосфатиды (X) и (XI) значительно хуже включают метку, может объясняться тем, что они содержат большие группы, способных образовывать комплексы с хлористым алюминием (кроме сложноэфирных и фосфатных групп еще и гидроксигруппы), выводя катализатор из реакции. При использовании же более 5 экв. AlCl_3 в реакции с фосфатидилэтаноламином (IX), 5,5 экв.— с фосфатидилхолином (VIII) и дифосфатидилглицерином (XI) и 6 экв.— с фосфатидилинозитом (X) побочные процессы, протекающие в присутствии хлористого алюминия [1], являются причиной существенного уменьшения степени их целевой модификации — образования флуоресцентно меченых фосфолипидов (XII)–(XVII) (рис. 2). В оптимальных условиях степень модификации фосфатидилхолина (VIII) достигала 26%, фосфатидилэтаноламина (IX) – 17%, фосфатидилинозита (X) и дифосфатидилглицерина (XI) – 5–7%.

Строение синтезированных веществ (XII)–(XVII) устанавливали с помощью спектральных методов: УФ-, флуоресцентной спектроскопии и масс-спектрометрии, а также методами химического и ферментативного расщепления. Так, в масс-спектре пиренилмеченоого фосфатидилхолина (XII) (ионизация полем) наблюдались молекулярные ионы двух видов: 1-пальмитоил-2-пиренилстеароил-*s*n-глицеро-3-фосфохолина (M^+ , m/z 961) и 1-стеароил-2-пиренилстеароил-*s*n-глицеро-3-фосфохолина (M^+ , m/z 989). При щелочном метанолизе антрил- и пиренилмеченых фосфолипидов (XII)–(XVII) получались в основном метиловые эфиры соответственно антрилстеариновой (M^+ , m/z 474) и пиренилстеариновой кислоты (M^+ ,

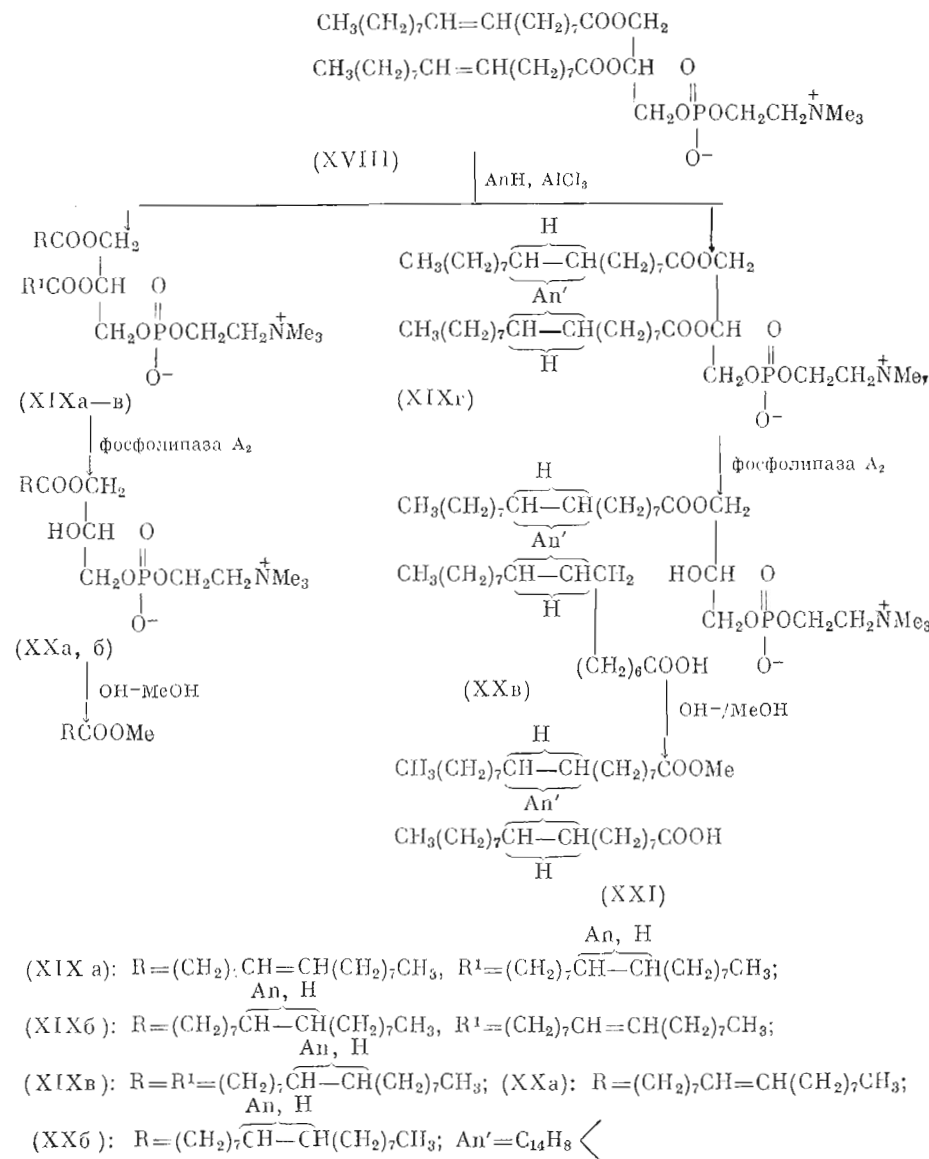
Рис. 2. Влияние количества хлористого алюминия на степень модификации (n) фосфолипидов (VIII)–(XI), приводящей к образованию флуоресцентно метченых веществ: 1 – пиренилфосфатидилхолина (XII); 2 – пиренилфосфатидилэтаноламина (XIII); 3 – пиренилфосфатидилизозита (XVI); 4 – антрылфосфатидилизозита (XIV); 5 – пиренилдифосфатидилизозирина (XVII); 6 – антрылдифосфатидилглюцирина (XV)



m/z 498). Из других арилсодержащих кислот в случае фосфатидилэтапол-амина (XIII) и дифосфатидилглицеринов (XV), (XVII) отмечалось образование антрил- и пиренилоктадециновой кислот (*m/z* соответственно 472 и 496), т. е. продуктов взаимодействия аренов с линолевой кислотой.

Для оценки распределения флуоресцентно меченых кислот в молекулах фосфолипидов (ХII)–(ХVII) проводили их расщепление фосфоли-

Схема 3



пазой A₂ змеиного яда. Все фосфолипиды, кроме дифосфатидилглицеринов (XV), (XVII), гидролизовались данной фосфолипазой; при этом 90–95% флуоресцентной метки содержалось в жирных кислотах, а 5–10% – в лизофосфолипидах. Таким образом, метка распределяется в основном в соответствии с распределением ненасыщенных жирных кислот в молекулах природных фосфолипидов. Для подтверждения этого алкилировали антрацен 1,2-диолеол-*sn*-глицеро-3-фосфохолином (XVIII) с последующим анализом образующихся веществ (схема 3).

При гидролизе антилфосфатидилхолинов (XIXa–г) фосфолипазой A₂ во фракции жирных кислот присутствовал 41% метки, в лизофосфатидилхолине – 49% и в негидролизованном антилфосфатидилхолине – 10%. В продуктах щелочного метанолиза двух последних фракций были обнаружены в значительных количествах метиловые эфиры антрацен-бисстеариновой кислоты [4]: для лизофосфатидилхолина – 29% (в виде монометилового эфира (XXI)), а для негидролизованного антилфосфатидилхолина – до 47%. Всего же, по данным УФ-спектроскопии, в продуктах щелочного гидролиза флуоресцентно меченного фосфатидилхолина (XIXa–г) содержалось до 19% кислот, сшитых антраценом. Антилфосфатидилхолин (XIXг), содержащий такие кислоты, медленнее гидролизуется фосфолипазой A₂, поэтому негидролизованшийся антилфосфатидилхолин обогащен ими. Следовательно, по данным ферментативного гидролиза, распределение метки в антилфосфатидилхолинах (XIXa–г) между первым и вторым положениями глицеринового остатка близко к 1, что подтверждает распределение метки в молекулах фосфолипидов (XII)–(XVII) в соответствии с распределением ненасыщенных жирных кислот в природных липидах. Образование значительного количества сшитых кислот в данном случае обусловлено пространственным сближением двойных связей двух остатков олеиновой кислоты в молекуле 1,2-диолеол-*sn*-глицеро-3-фосфохолина (XVIII).

Таким образом, метод алкилирования полициклических ароматических углеводородов по Фридэлю – Крафтсу природными веществами, содержащими двойные связи (в частности, ненасыщенными жирными кислотами и фосфолипидами), может служить простым универсальным методом введения ароматического фрагмента (например, флуоресцентной метки) в гидрофобную область этих веществ.

Экспериментальная часть

УФ-спектры снимали на спектрофотометре Shimadzu UV-240 (Япония), спектры флуоресценции – на спектрофлуориметрах Aminco SPF-1000 (США) и Hitachi MPF-4 (Япония), масс-спектры – на сцинктометрах Varian MAT-311A и Varian MAT-731 (США), спектры ПМР и ¹³C-ЯМР (с полной развязкой от протонов) – на импульсном фурье-спектрометре Bruker WH-250 (ФРГ). Препаративную ВЭЖХ этилового эфира 9(10)-антрилстеариновой кислоты проводили на хроматографе Knauer (ФРГ), колонка LiChrosorb RP-18, 5 мкМ (16×250 мм), элюент – метанол – ацетонитрил, 9 : 1; скорость элюирования 3 мл/мин; детекция по поглощению при 290 нм.

Растворители удаляли в вакууме при температуре не более 35–40° С. Для колоночной хроматографии применяли силикагель L 40/100 (Chemapol, Чехословакия), для ТСХ – пластины силуфол UV-254 (Kavalier, Чехословакия). ТСХ осуществляли в системах гексан – эфир, 9 : 1 (А); гексан – эфир, 3 : 2 (Б); петролейный эфир (т. кип. 40–70° С) – эфир – уксусная кислота, 80 : 20 : 1 (В); хлороформ – метанол – вода, 65 : 25 : 4 (Г); хлороформ – метанол – конц. NH₄OH, 65 : 35 : 5 (Д). Для обнаружения веществ на хроматограммах использовали флуоресценцию при УФ-облучении (а), пары иода (б), молибденовый синий (в), реактив Драгендорфа (г), пиридин (д) и периодат натрия – бензидин (е) [8].

Лиофилизованный яд змеи *Crotalus adamanteus* (Serva, ФРГ) и яичный фосфатидилхолин (отечественного производства) использовали без дальнейшей очистки. Дифосфатидилглицерин (отечественного производства) перед использованием очищали колоночной хроматографией на силикагеле ([9], с. 162–163). Фосфатидилэтаноламин выделяли из яичного желтка ([9], с. 141–142), фосфатидилинозит – из пекарских дрожжей ([9], с. 178–179), олеиновую кислоту – из оливкового масла [10] и перед применением дополнительно очищали колоночной хроматографией на силикагеле в системе гексан – эфир, 92 : 8. 10-Ундекеновую кислоту (отечественного производства) очищали колоночной хроматографией на силикагеле в системе гексан – эфир, 3 : 2. Метиловые эфиры жирных кислот получали по методу [11], 1,2-диолеол-*sn*-глицеро-3-фосфохолин – по методу ([9], с. 111–112). С флуоресцентными веществами работали при слабом рассеянном свете.

9(10)-(4-Пиренил)стерииновая кислота (IV). К раствору 1,16 г пирепа в 10 мл сухого дихлорэтана добавляли при перемешивании пятую часть (от 1,02 г) безводного хлористого алюминия, охлаждали смесь до 0° С и прибавляли по каплям раствор 1,08 г олеиновой кислоты (II) в 5 мл дихлорэтана попеременно с оставшимся количеством AlCl₃, перемешивали 30 мин при 0–5° С, давали смеси нагреться до комнатной температуры и перемешивали еще 1 ч (всего ~2,5 ч). Затем к смеси приливали 25 мл 1 н. HCl, охлажденный до 0° С, промывали водой (2×50 мл), сушили безводным Na₂SO₄, фильтровали и фильтрат упаривали. Остаток растирали с 20 мл гексана, нерастворившийся пирен отфильтровывали, промывали гексаном, фильтрат упаривали. Остаток хроматографировали на колонке с 75 г силикагеля в ступенчатой градиентной системе гексан – диэтиловый эфир. Состав фракций контролировался ТСХ в системе Б (обнаружение: а, б). Получали 0,55 г (30%) кислоты (IV) в виде светло-желтого масла, *R*_f 0,49 (Б), 0,33 (В, обнаружение: а, б); УФ (метанол), λ_{max} , нм (ε): 234 (32 400), 242 (54 200), 265 (19 400), 275 (37 300), 312 (9000), 325 (21 000), 341 (29 900); спектр флуоресценции (этанол, возбуждение при 342 нм), λ_{max} , нм: 375, 395, 415; масс-спектр, *m/z*: 484 (*M*⁺), 327, 341 [CH₃(CH₂)_n·CHC₁₆H₉]⁺ (*n*=7,8), 357, 371 [CH(C₁₆H₉)(CH₂)_nCOOH]⁺ (*m*=7,8), 215 (C₁₆H₉CH₂⁺), 201 (C₁₆H₉)⁺). Найдено, %: C 84,27, H 9,15. C₂₄H₁₄O₂. Вычислено, %: C 84,25, H 9,15. Затем выделяли 0,15 г (5%) дигидропирена (VI), *R*_f 0,16 (Б, обнаружение: а, б); УФ (метанол), λ_{max} , нм (ε): 237 (72 900), 246 (120 100), 268 (45 000), 279 (86 700), 317 (21 700), 331 (48 400), 347 (67 400); спектр флуоресценции (гексан, возбуждение при 346 нм), λ_{max} , нм: 380, 400, 420; масс-спектр, *m/z*: 766 (*M*⁺), 484 [CH₃(CH₂)_n·CH(C₁₆H₉)(CH₂)_nCOOH]⁺ (*m*, *n*=7,8), 215 (C₁₆H₉CH₂⁺), 201 (C₁₆H₉)⁺.

10(11)-(4-Пиренил)ундекановая кислота (V). Из 3,69 г пирена, 2,24 г 10-ундекановой кислоты (III) и 3,25 г безводного AlCl₃ по методике, описанной для пиренилстеариновой кислоты (IV), получали 1,71 г (37%) кислоты (V) в виде светло-желтого масла, *R*_f 0,48 (Б, обнаружение: а, б); УФ (хлороформ – метанол, 1:1), λ_{max} , нм (ε): 243 (29 600), 254 (12 600), 265 (24 000), 275 (31 400), 312 (11 500), 326 (25 600), 342 (30 900); спектр флуоресценции (этанол, возбуждение при 342 нм), λ_{max} , нм: 376, 395, 416. Найдено, %: C 83,55, H 7,78. C₂₇H₃₀O₂. Вычислено, %: C 83,94, H 7,77.

Пиренилфосфатидилхолин (XII). 113 мг фосфатидилхолина (VIII) и 45 мг пирена растворяли в 4 мл сухого дихлорэтана и при перемешивании прибавляли постепенно 108 мг безводного AlCl₃. Смесь перемешивали 1 ч при 18–22° С, последовательно прибавляли 1,5 мл 1% HCl, 6 мл MeOH и 1 мл воды. Органический слой отделяли, водно-метанольный промывали хлороформом (3×5 мл), объединенные хлороформные экстракти промывали дистиллированной водой (10 мл) и упаривали. Остаток хроматографировали на колонке с 16 г силикагеля в ступенчатой градиентной системе хлороформ – метанол. Получали 41 мг пиренилфосфатидилхолина (XII) в виде желтоватого воскообразного вещества, *R*_f 0,4 (Г, обнаружение: а, в, г); $[\alpha]_D$ +7,4° (с 1,5; хлороформ). По данным УФ-спектра, подобного спектру 1-апил-2-[9(10)-(4-пиренил)стеароил]-sn-глицеро-3-фосфохолина [7], содержание метки составляло 83% (степень модификации 26%); спектр флуоресценции (этанол, $\lambda_{\text{возб}}$ 342 нм), λ_{max} , нм: 376, 396, 415; масс-спектр, *m/z*: 961 (*M*⁺; 1-пальмитоил-2-пиренилстеароил-sn-глицеро-3-фосфохолин), 989 (*M*⁺; 1-стеароил-2-пиренилстеароил-sn-глицеро-3-фосфохолин).

Пиренилфосфатидилэтаноламин (XIII). Из 103 мг фосфатидилэтаноламина (IX), 42 мг пирена и 93 мг безводного AlCl₃ по методике, описанной для пиренилфосфатидилхолина (XII), получали 23 мг хроматографически однородного пиренилфосфатидилэтаноламина (XIII) в виде желтоватого аморфного вещества, *R*_f 0,65 (Г, обнаружение: а, в, д); $[\alpha]_D$ +6,4° (с 1,5; хлороформ); содержание метки 64% (степень модификации 17%); спектры УФ и флуоресценции такие же, как для фосфатидилхолина (XII).

Пиренилфосфатидилиноозит (XVI). Из 12 мг фосфатидилиноозита (X), 5 мг пирена и 12 мг хлористого алюминия по той же методике получали 6 мг пиренилфосфатидилиноозита (XVI) в виде желтоватой аморфной массы, *R*_f 0,38 (Г, обнаружение: а, в, е); $[\alpha]_D$ +7,0° (с 0,6; хлороформ – метанол, 1:1); содержание метки 18% (степень модификации 7%); УФ (хлороформ – метанол, 1:1), λ_{max} , нм: 236, 245, 267, 278, 315, 329, 343; спектр флуоресценции (этанол, $\lambda_{\text{возб}}$ 342 нм), λ_{max} , нм: 375, 396, 415.

Пиренилдифосфатидилглицерин (XVII). Из 89 мг дифосфатидилглицерина (XI), 37 мг пирепа и 41 мг хлористого алюминия получали 47 мг пиренилдифосфатидилглицерина (XVII) в виде светло-желтого аморфного вещества, *R*_f 0,70 (Г, обнаружение: а, в, б); $[\alpha]_D$ +5,4° (с 0,6; хлороформ); содержание метки 10% (степень модификации 5%); УФ (хлороформ – метанол, 1:1), λ_{max} , нм: 235, 245, 266, 277, 314, 328, 343; спектр флуоресценции (этанол, $\lambda_{\text{возб}}$ 342 нм), λ_{max} , нм: 376, 396, 417.

Антрапидифосфатидиллиниозит (XIV). Из 20 мг фосфатидилиноозита (X), 5 мг антрацена и 16 мг безводного AlCl₃ аналогично получали 11 мг антрапидифосфатидилиниозита (XIV) в виде слегка желтоватой аморфной массы, *R*_f 0,37 (Г, обнаружение: а, в, с); $[\alpha]_D$ +7,7° (с 0,6; хлороформ – метанол, 2:1); содержание метки 15% (степень модификации 6%); УФ (хлороформ – метанол, 1:1), λ_{max} , нм: 258, 335, 350, 366, 385; спектр флуоресценции (этанол, $\lambda_{\text{возб}}$ 360 нм), λ_{max} , нм: 390, 412, 434.

Антрапидифосфатидилглицерин (XV). Из 76 мг дифосфатидилглицерина (XI), 28 мг антрацена и 35 мг безводного AlCl₃ аналогично получали 30 мг антрапидифосфатидилглицерина (XV), *R*_f 0,71 (Г, обнаружение: а, б); $[\alpha]_D$ +5,8° (с 0,8; хлороформ); содержание метки 9% (степень модификации 3%); УФ (хлороформ – мета-

пол. 1:1), λ_{max} , нм: 257, 332, 347, 364, 383; спектр флуоресценции (этанол, $\lambda_{\text{возб}}$ 360 нм), λ_{max} , нм: 391, 411, 435.

Антилфосфатидилхолин (XIXa–e). Из 75 мг 1,2-диолеоил-sn-глицеро-3-фосфохолина (XVIII), 26 мг антрацена и 65 мг безводного хлористого алюминия аналогично получали 46 мг антилфосфатидилхолина (XIXa–g) в виде слегка жирстватого воскообразного вещества, R_f 0,4 (Г), 0,5 (Д, обнаружение: а, в, г); $[\alpha]_D +8,5^\circ$ (с 1,5% хлороформ); содержание метки 29% (степень модификации 14%); УФ (метанол), λ_{max} , нм: 257, 330, 345, 364, 382; спектр флуоресценции (этанол, $\lambda_{\text{возб}}$ 360 нм), λ_{max} , нм: 390, 412, 435.

Расщепление флуоресцентно меченых фосфолипидов фосфолипазой A₂. 1) В пробирке объемом 15 мл выпаривали 0,5 мл 0,1% бензольного раствора пиренилфосфатидилхолина (XII) или антилфосфатидилхолина (XIXa–g) и 45 мкл 10% спиртового раствора яичного фосфатидилхолина. К ним добавляли 5 мл эфира и 0,5 мл раствора 1 мг лиофилизированного яда змеи *Crotalus adamanteus* [12] в 0,1 М боратном буфере (рН 7,5), содержащем 1,6 мг CaCl₂. Смесь встряхивали 15 мин и инкубировали 4 ч при 20°С. Растворители упаривали, остаток растворяли в 2 мл смеси хлороформ – метанол (1:1), центрифугировали, супернатант переносили в другую пробирку, упаривали и полученные продукты разделяли на колонке с 1 г силикагеля в градиентной системе хлороформ – метанол. В реакционной смеси присутствовал нерасщепившийся флуоресцентно меченный фосфатидилхолин. Количество флуоресцентной метки, определенное по поглощению при 341 (для пиренилфосфатидилхолина) или 364 нм (для антилфосфатидилхолина), составило: в случае пиренилфосфатидилхолина (XII) во фракции жирных кислот – 80%, в лизофосфатидилхолине – 4% и в нерасщепившемся фосфатидилхолине – 16%; в случае антилфосфатидилхолина (XIXa–g) – соответственно 41, 49 и 10%.

2) Для гидролиза пиренилфосфатидилэтаноламина (XIII), а также антил- и пиренилмеченные фосфатидилинозитов (XIV), (XVI) и дифосфатидилглицеринов (XV), (XVII) выпаривали в пробирке (объемом 15 мл) 0,5 мл 0,1% бензольного раствора соответствующего меченого фосфолипида (в случае фосфатидилинозитов (XIV), (XVI) использовали растворы в хлороформе) и 45 мкл 10% спиртового раствора яичного фосфатидилхолина. Далее гейшип операции проводили так же, как описано в пункте 1. Антил- и пиренилмеченные дифосфатидилглицерин (XV), (XVII) не гидролизовались данной фосфолипазой (так же, как и исходный дифосфатидилглицерин (XI)). В продуктах гидролиза пиренилфосфатидилэтаноламина (XIII) метка распределялась следующим образом: в жирных кислотах – 78%, в лизофосфатидилэтаноламине – 9% и в нерасщепившемся фосфатидилэтаноламине – 13%; при гидролизе антилфосфатидилинозита (XIV) и пиренилфосфатидилинозита (XVI) – соответственно 74–76, 7–9 и 15–19%.

Мягкий щелочным метанолизом флуоресцентно меченых фосфолипидов (XII)–(XVII), (XIXa–g), (XXa–b). В пробирке объемом 15 мл выпаривали раствор 5–10 мг соответствующего меченого фосфолипида (или лизофосфолипида), к остатку последовательно добавляли 0,2 мл хлороформа, 0,3 мл метанола и 0,5 мл 0,2 н. NaOH в метаноле, интенсивно перемешивали и выдерживали 15 мин при комнатной температуре [12]. После этого прибавляли 0,2 мл метанола, 0,3 мл хлороформа и 0,9 мл воды, смешивали и центрифугировали, отделяли водно-метапольную фазу пастеровской пипеткой, а хлороформную промывали смесью метанол – вода, 10:9 (2×0,5 мл) и упаривали. Метиловые эфиры флуоресцентно меченых жирных кислот идентифицировали методами ТСХ, УФ-спектроскопии и масс-спектрометрии.

1) В случае пиренилфосфатидилхолина (XII), а также антил- и пиренилмеченных фосфатидилинозитов (XIV), (XVI) были обнаружены только метиловые эфиры антилстearиновой [4] (R_f 0,40 (А, обнаружение: а, б), масс-спектр, m/z : 474 (M^+)) и пиренилстearиновой (IV) кислоты (R_f 0,36 (А, обнаружение: а, б), масс-спектр, m/z : 498 (M^+)). В случае фосфатидилэтаноламина (XIII) и дифосфатидилглицеринов (XV), (XVII) кроме этого отмечалось образование метиловых эфиров соответственно антил- и пиренилпоктадециновой кислот (M^+ , m/z 472 и 496 соответственно, интенсивности молекулярных ионов эфиров этих кислот не превышали 5% от интенсивности молекулярных ионов эфиров антил- и пиренилстearиновой кислот).

2) В продуктах щелочного метанолиза антилфосфатидилхолина (XIXa–g) кроме метилового эфира антилстearиновой кислоты был обнаружен диметиловый эфир антрацен-бисстearиновой кислоты, R_f 0,25 (А, обнаружение: а, б), масс-спектр, m/z : 770 (M^+). Количество его, определенное по поглощению при 374 нм [4], достигало 19% от общего количества флуоресцентно меченых жирных кислот, содержащихся в фосфатидилхолине (XIXa–g).

3) При щелочном метанолизе фракций лизофосфатидилхолина (XXa–b) и ее гидролизованного фосфолипазой A₂ антилфосфатидилхолина (XIXa–g) также образовались смеси метиловых эфиров антилстearиновой и антрацен-бисстearиновой кислот в соотношениях: в первом случае 71:29, а во втором 53:47. Полученный при метанолизе фракции лизофосфатидилхолина (XXa–b) монометиловый эфир антрацен-бисстearиновой кислоты (XXI) имел R_f 0,37 (В, обнаружение: а, б), масс-спектр, m/z : 756 (M^+).

ЛИТЕРАТУРА

1. Богомолова О. В., Каплын А. П., Швец В. И. // Биоорганическая химия. 1984. Т. 10. № 11. С. 1560–1564.
2. Владимиров Ю. А., Добрецов Г. Е. // Флуоресцентные методы в исследовании биологических мембран. М.: Наука, 1980.

3. Bergelson L. D., Molotkovsky Yul. G., Manevich Y. M. // Chem. Phys. Lipids. 1985. V. 37. № 2. P. 165–195.
4. Богомолов О. В., Каплун А. П., Швец В. И. // Биоорган. химия. 1984. Т. 10. № 7. С. 975–978.
5. Богомолов О. В., Каплун А. П., Швец В. И. Способ получения флуоресцентного фосфатидилхолина: А. с. 1068441 СССР // Б. И. 1984. № 3. С. 75.
6. Galli H.-J., Hartmann W. // Chem. Phys. Lipids. 1980. V. 27. № 3. P. 199–219.
7. Богомолов О. В., Каплун А. П., Якунина Н. Б., Швец В. И., Евстигнеева Р. П. // Докл. АН СССР. 1984. Т. 279. № 2. С. 383–386.
8. Лабораторное руководство по хроматографическим и смежным методам/Ред. Микеш О.: Пер. с англ./Ред. Березкин В. Г. М.: Мир, 1982. Ч. II. С. 539–549.
9. Бергельсон Л. Д., Дятловицкая Э. В., Молотковский Юл. Г. и др. Препартивная биохимия липидов. М.: Наука, 1981.
10. Schlenk H., Holman R. // J. Amer. Chem. Soc. 1950. V. 72. № 11. P. 5001–5004.
11. Беккер Г., Бергер В., Домшке Г. и др. Органикум. Практикум по органической химии: Пер. с нем. М.: Мир, 1979. Т. II. С. 248–250.
12. Кейтс М. Техника линиодологии: Пер. с англ. М.: Мир, 1975.

Поступила в редакцию
14.I.1988

MEMBRANE FLUORESCENT PROBES.

II. FRIEDEL — CRAFTS ALKYLATION OF POLYCYCLIC AROMATIC HYDROCARBONS — A USEFUL METHOD FOR INCORPORATION OF FLUORESCENT LABEL INTO HYDROPHOBIC MOIETY OF NATURAL LIPIDS

BOGOMOLOV O. V., YAKUNINA N. B., KAPLUN A. P., SHVETS V. I.

M. V. Lomonosov Institute of Fine Chemical Technology, Moscow

9(10)-4-(Pyrenyl)stearic and 10(11)-(4-pyrenyl)undecanoic acids are prepared by alkylation of pyrene with oleic or 10-undecenoic acids, respectively, under Friedel — Crafts reaction conditions. Fluorescent analogues of natural phospholipids are synthesized by interaction of anthracene and pyrene with egg phosphatidylcholine and phosphatidylethanolamine, baker's yeast phosphatidylinositol or bovine heart diphosphatidylglycerol. Localisation of the label in the acyl moiety, mainly in the second position of the glycerol backbone, is established by methods of chemical and enzymatic degradation.